



Experimental and Numerical Study of the Moisture Loss Rate in Conditioned Alfalfa Stem using Computational Fluid Dynamics

M. Dana¹, P. Ahmadi Moghaddam^{2*}

1- MSc student, Department of Mechanical Engineering of Biosystems, Faculty of Agriculture, Urmia University, Urmia, Iran

2- Associate Professor, Department of Mechanical Engineering of Biosystems, Faculty of Agriculture, Urmia University, Urmia, Iran

(*- Corresponding Author Email: p.ahmadi@urmia.ac.ir)

DOI: [10.22067/jam.2021.67096.0](https://doi.org/10.22067/jam.2021.67096.0)

Received: 08-11-2020

Revised: 04-02-2021

Accepted: 06-02-2021

Available Online: 06-02-2021

How to cite this article:

Dana, M., and P. Ahmadi Moghaddam. 2022. Experimental and Numerical Study of the Moisture Loss Rate in Conditioned Alfalfa Stem using Computational Fluid Dynamic. Journal of Agricultural Machinery 12 (3): 301-317. (In Persian).
DOI: [10.22067/jam.2021.67096.0](https://doi.org/10.22067/jam.2021.67096.0)

Introduction

Today, the development of the livestock industry and feed supply is a vital issue due to the growing world population, the importance of animal protein supply, and the growing requirement for livestock products.

A porous medium refers to a solid-void (pore) space that is occupied by a fluid (gas or liquid). Generally, many of these pores are interconnected which makes the transportation of mass and heat possible through the pores and this contributes to a faster transportation process through the solid matrix. Porosity is the fraction of void space to total volume.

While the pores are large enough, water vapor and air in the porous media can be transported by molecular diffusion. Molecular diffusion of a gas species (e.g., vapor) in a gas mixture (e.g., vapor and air) is described by Fick's law.

Materials and Methods

In this study, the samples were classified into four categories, including control, 3-impacts (low conditioning), 8-impacts (average conditioning), and 13-impacts (high conditioning). Each category included six samples (50-grams) that were used to measure different characteristics at different stages. All samples were weighed every two hours using a digital scale (0.001 gr precision). The leaf-stem separation force then was extracted using a texture analyzer. All experiments were repeated three times, and finally, the mean of these three repetitions was reported as the final value for the intended parameter.

The geometry of the alfalfa stem was drawn in Gambit software and after meshing and applying boundary conditions; it was transferred to ANSYS Fluent software. Then, while the solver was selected, adjusted under relaxation factors were applied. In the following, mesh independency was checked and the results were reported.

Results and Discussion

To ensure numerical accuracy, the experimental data should be validated with the simulation results. For this purpose, experimental moisture losses were compared to the software results and showed a good agreement. Then, the moisture ratio curves (kinetics of drying) and force-time chart were presented.

The impact of the moisture content of the tissue was evaluated on the value of force per time. Therefore, three samples of alfalfa with different relative humidity in terms of leaf-stem separation force were reported.

The results of the numerical simulations were presented as two main contours: the velocity magnitude and moisture (water vapor) mass fraction. The simulation results were provided for all different modes and compared to the experimental data. Finally, errors between both results were presented in a table.

Conclusion

Regarding the quality and losses of the final product and comparisons between four different modes (control, 3 impacts, 8 impacts, and 13 impacts), the mode with 8 impacts was selected as the best mode.

The Force-time chart illustrated two peaks due to the special multi-layer texture of the alfalfa. Regarding reducing the moisture ratio of the alfalfa as compared to the optimal, the force required to separate the leaves from the alfalfa stem was significantly decreased. Also, a significant increase in the losses was observed for impacts modes higher than 8.

Keywords: Alfalfa, Conditioning, Drying, Leaf separation force

مقاله پژوهشی

جلد ۱۲، شماره ۳، پاییز ۱۴۰۱، ص ۳۱۷-۳۰۱

مطالعه تجربی و شبیه‌سازی سینتیک خشک شدن یونجه ساقه‌کوبی شده به روش دینامیک

سیالات محاسباتی

مریم دانا^۱، پرویز احمدی مقدم^{۲*}

تاریخ دریافت: ۱۳۹۹/۰۸/۱۸

تاریخ پذیرش: ۱۳۹۹/۱۱/۱۸

چکیده

در این پژوهش تأثیر شدت ساقه‌کوبی بر فرآیند خشک شدن یونجه و همچنین ماکزیمم نیروی مورد نیاز برای جدا کردن برگ از ساقه مورد مطالعه قرار گرفته است. آزمایش‌ها به صورت فاکتوریل و در قالب طرح بلوک‌های کامل تصادفی صورت گرفت. متغیرهای مستقل، شدت ساقه‌کوبی در ۳ شدت (کم، متوسط و شدید)، زمان در ۷ سطح برای آزمایش اول و ۴ سطح برای آزمایش دوم و همچنین متغیرهای وابسته دو آزمایش به ترتیب نسبت رطوبت محصول و ماکزیمم مقدار نیروی مورد نیاز جدا کردن برگ از ساقه بودند. از دستگاه بافت‌سنج با سرعت پروب ۱۰ میلی‌متر بر دقیقه برای اندازه‌گیری نیروی جدایش برگ از ساقه در رطوبت‌های مختلف استفاده گردید. همچنین برای شبیه‌سازی نرخ از دست‌دادن رطوبت ساقه از روش دینامیک سیالات محاسباتی استفاده شد. نتایج حاصل از شبیه‌سازی دینامیک سیالات محاسباتی در تخمین زمان خشک شدن یونجه، همبستگی بالایی (اختلاف زیر ۱۰٪) را با نتایج داده‌های تجربی نشان داد. همچنین نتایج به‌دست آمده نشان داد که با کاهش رطوبت محصول و افزایش شدت ساقه‌کوبی، میزان نیروی جدایش برگ از ساقه به‌طور معنی‌داری (۰/۹۹) کاهش یافت. در پایان نتایج، با در نظر گرفتن کیفیت محصول نهایی و تلفات کم‌تر برگ و همچنین در نظر گرفتن زمان مناسب خشک شدن علوفه، ساقه‌کوبی با شدت متوسط (۸ ضربه) به‌عنوان بهترین حالت انتخاب گردید.

واژه‌های کلیدی: خشک شدن، عملیات ساقه‌کوبی، نیروی جدایش برگ، یونجه

مقدمه

نقل این محصول مشاهده شده است. یکی از مراحل مهم در زراعت یونجه، برداشت آن بوده و تلفات در این مرحله یکی از دغدغه‌های عمده کشاورزان است (Wu, 2004).

تفاوت‌های هندسی و ساختاری بین ساقه و برگ در گیاهان زراعی وجود دارد، (برگ با نرخ بیش‌تری نسبت به ساقه خشک می‌شود). بنابراین، برای افزایش نرخ خشک شدن ساقه و هم‌زمانی خشک شدن آن با برگ، می‌توان از روش‌های مختلف مکانیکی که با جابجا کردن، خراش، له کردن یا شکستن ساقه راهی برای خروج رطوبت فراهم می‌کنند، استفاده کرد. به‌واسطه حساسیت موجود در مورد خشک شدن یکنواخت برگ و ساقه، بایستی حداقلامکان سطح رطوبت برگ و ساقه مقدار نسبتاً یکسانی داشته باشند. دلیل این الزام این است که در صورت صرف زمان برای رسیدن رطوبت ساقه به مقدار مناسب بسته‌بندی (حدود ۱۲ الی ۱۴ درصد) به‌واسطه خشک شدن بیش از حد برگ، افزایش شدید ریزش برگ رخ خواهد داد (Siles et al., 2015). برعکس، اگر ساقه رطوبت بالایی داشته باشد و رطوبت برگ برای بسته‌بندی ملاک قرار گیرد، به‌واسطه رطوبت بالای ساقه، احتمال فساد محصول بسته‌بندی شده بالا خواهد بود

یونجه با نام علمی *Medicago sativa* با توجه به وجود تنوع اقلیمی در مناطق مختلف آب و هوایی کشت می‌شود. یونجه با دارا بودن عملکرد خوب در واحد سطح و خوش‌خوراکی مطلوب به‌عنوان ماده اصلی تأمین‌کننده پروتئین، مواد معدنی، ویتامین A و عوامل رشد، جایگاهی ویژه در تغذیه دام و صنعت دامپروری دارد. با در نظر گرفتن روند رو به افزایش جمعیت جهان و اهمیت تأمین پروتئین حیوانی و نیاز روزافزون به فرآورده‌های دامی، توسعه صنعت دامپروری از اهمیت زیادی برخوردار بوده و در این رابطه تأمین خوراک دام یک مسئله حیاتی است (Aboltins and Kic, 2018). بعد از سال ۱۹۷۰، افزایش قابل ملاحظه‌ای در فرآوری یونجه برای تولید محصولات مانند پلت‌ها و بسته‌بندی‌های مکعبی شکل به خاطر راحتی حمل و

۱- دانشجوی کارشناسی ارشد، گروه مکانیک بیوسیستم، دانشگاه ارومیه، ارومیه، ایران

۲- دانشیار گروه مکانیک بیوسیستم، دانشگاه ارومیه، ارومیه، ایران

(Email: p.ahmadi@urmia.ac.ir)

*- نویسنده مسئول:

DOI: 10.22067/jam.2021.67096.0

همکاران (Patil et al., 1993) یونجه تازه بریده شده (۶۵ تا ۸۰ درصد نسبت رطوبتی) را به دو صورت مکانیکی و شیمیایی تیمار داده و سپس در یک خشک‌کن خشک کردند. ساقه‌های خرد شده بین سطوح نرم و صاف و یا بین دو غلتک شیاردار طولی سه برابر سریع‌تر از ساقه‌های فشرده خشک شدند. از نظر سطوح رطوبتی، برگ‌ها دو برابر سریع‌تر از ساقه‌های خرد شده و چهار برابر سریع‌تر از ساقه‌های خرد نشده خشک شدند. مدل‌سازی گذر هوای سرد از روی پلت‌های یونجه توسط فاسینا و سخن‌سنج (Fasina and Sokhansanj, 1995) انجام شده است. در مدل آن‌ها از معادلات جرم و حرارت توزیع شده برای توصیف دما و رطوبت پلت‌ها استفاده شد. همچنین کوپل کردن^۳ فرآیندهای انتقال جرم و حرارت انجام گردید. فرهنگ و همکاران (Farhang et al., 2010) یک آون میکروویو آزمایشگاهی را برای خشک کردن یونجه با اعمال توان میکروویو در پنج سطح (۱۸۰، ۳۶۰، ۵۴۰، ۷۲۰ و ۹۰۰ وات) استفاده کردند. برازش^۴ داده‌های تجربی با سه مدل لوئیس^۵، هندرسون-پایس^۶ و وانگ-سینگ^۷ نشان‌دهنده این بود که منحنی‌های خشک شدن به‌وسیله مدل وانگ-سینگ، بهتر توصیف شدند. شبیه‌سازی سینماتیکی و مطالعه تجربی بر روی جریان هوای چرخشی برای خشک کردن یونجه توسط چه و همکاران (Che et al., 2015) انجام گردید؛ محققان یک مدل آیرودینامیکی برای یونجه براساس نتایج تجربی چرخش یونجه در جریان هوا ایجاد کردند. در این مطالعه، تاثیر سرعت جریان هوای خشک، سرعت اولیه و زاویه جریان هوا بررسی گردید. سیلس و همکاران (Siles et al., 2015) محتوای رطوبتی و دما را برای سینتیک خشک کردن یونجه به‌طور همزمان مدل‌سازی کردند. طبق نتایج به‌دست آمده، ۹۵٪ از نتایج تجربی مربوط به تغییر دما در داخل ساقه با زمان شبیه‌سازی شدند. یک مطالعه تجربی در مورد خشک کردن میکروویو یونجه در دستگاه خشک‌کن مداوم^۸ انجام شده است. حفظ کاروتن در این فرآیند مهم‌ترین هدف پژوهش بود. شدت پایین تخریب کاروتن در فرآیند خشک کردن میکروویو با این واقعیت تفسیر می‌شود که استفاده از خلاء امکان خشک کردن در دمای پایین‌تر را فراهم می‌کند و باعث کاهش اکسیداسیون آن می‌شود (Ivanov et al., 2018).

با پیشرفت کاربرد دینامیک سیالات محاسباتی در بخش‌های مرتبط کشاورزی با صنعت، پژوهش‌های متنوعی در این بخش انجام شده است. یک رویکرد مدل‌سازی عددی برای خشک کردن زیست‌توده ارائه شده بود. مدل CFD توسعه‌یافته با استفاده از مدل تحلیلی موجود که بر اساس تبخیر است، اعتبارسنجی شد. توافق

(Kung et al., 1987). لذا بایستی تریبی اتخاذ گردد که سطوح رطوبتی ساقه و برگ نزدیک به یکدیگر باشند.

با پیشرفت علوم محاسباتی، شبیه‌سازی و مدل‌سازی پدیده‌های فیزیکی همچون خشک شدن گیاهان بیشتر مورد مطالعه قرار گرفته‌اند. دلیل این عمل، مزیت‌های مختلف شبیه‌سازی از جمله کاهش هزینه‌ها، کنترل دقیق فرآیند و هم‌چنین زمان کم‌تر شبیه‌سازی نسبت به شرایط واقعی می‌باشد. طیف وسیعی از مواد غذایی و محصولات کشاورزی از جمله بافت‌های گیاهی، غلات ذخیره شده در انبارها و مواد غذایی بسته‌بندی شده در سردخانه را می‌توان به‌عنوان مواد متخلخل در نظر گرفت. یک ماده متخلخل^۱ به یک ساختار نسبتاً جامد اطلاق می‌شود که دارای مجاری و منافذی بوده که با سیال (گاز یا مایع) پر می‌گردد. به‌طور کلی، بسیاری از این منافذ به‌صورت داخلی به یکدیگر متصل هستند؛ به‌طوری که انتقال جرم از طریق منافذ امکان‌پذیر است و در واقع فرآیند انتقال سریع‌تر از طریق ساختار جامد انجام می‌پذیرد. در سیستم‌های غذایی، بخش عظیمی از فرآیندها می‌توانند به‌عنوان انتقال جرم و گرما از طریق محیط متخلخل مشاهده شوند (Datta, 2007a; Datta, 2007b). انتشار مولکولی گونه‌های گازی (به‌عنوان مثال بخار) در یک مخلوط گازی (به‌عنوان مثال، بخار و هوا) توسط قانون فیک (رابطه ۱) توصیف می‌شود:

$$n_g^{diff} = -D_g \frac{\partial c_g}{\partial s} \quad (1)$$

که g نشان‌دهنده گونه‌های گاز، n_g^{diff} شار جرمی گاز با توجه به انتشار، D_g قابلیت انتشار مولکولی گاز در محیط متخلخل، c_g غلظت گاز و s مسافت است. قابلیت انتشار مولکولی گاز در حالت توده‌ای به قابلیت انتشار مولکولی گاز داخل ماده متخلخل با استفاده از انحنا^۲ τ و تخلخل ϕ مربوط می‌گردد (رابطه ۲):

$$D_g = \frac{D}{\tau} \phi \quad (2)$$

که D قابلیت انتشار گاز در توده است. همچنین مخلوط بخار آب و هوا به‌عنوان گاز ایده‌آل فرض می‌گردد (Datta, 2007b). از جمله اولین مطالعات انجام شده در مورد مدل خشک کردن یونجه در شرایط مزرعه‌ای می‌توان به کار انجام شده توسط روتز و چن (Rotz and Chen, 1985) اشاره کرد؛ در این مطالعه نرخ خشک شدن یونجه را بین نسبت رطوبت ۲۰ تا ۸۰ درصد (بر پایه تر) اندازه‌گیری کرده و از همبستگی خطی برای تعیین فاکتورهای محیطی نرخ خشک شدن استفاده کردند. در مطالعه‌ای دیگر پاتیل و

3- Coupling

4- Fitting

5- Lewis

6- Henderson - Pabis

7- Wang- Singh

8- Continuous dryer

1- Porous medium

2- Tortuosity

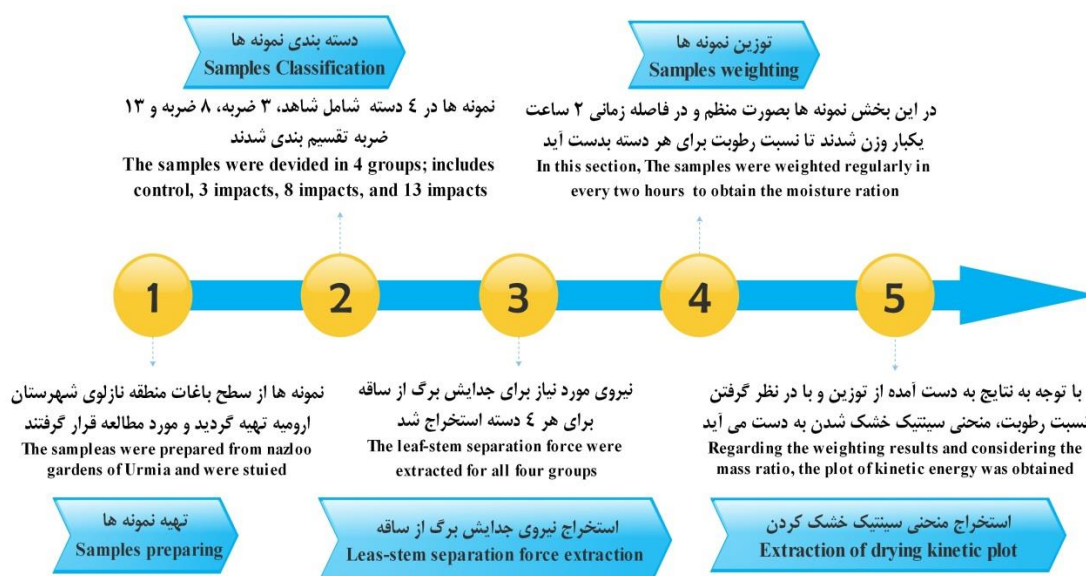
مواد و روش‌ها

تحقیق حاضر در دو بخش داده‌برداری تجربی و شبیه‌سازی عددی انجام گرفته است. روندنمای داده‌برداری تجربی در این تحقیق در شکل ۱ ارائه شده است. در ابتدا، نمونه‌های یونجه از مزارع کشاورزی منطقه نازلوی شهرستان ارومیه در آذربایجان غربی تهیه گردیدند؛ سپس نمونه‌ها در ۴ تیمار مختلف شدت ساقه‌کوبی (شاهد، ساقه‌کوبی با شدت کم، متوسط و شدید) دسته‌بندی شدند و نیروی مورد نیاز برای جدایش برگ از ساقه در تیمارهای مختلف با دستگاه آنالیز بافت اندازه‌گیری شد. در مطالعات قبلی از دستگاه بافت‌سنج برای اندازه‌گیری کیفیت بافت میوه عناب تازه (Zhao et al., 2018) و همچنین برای اندازه‌گیری نیروی برشی گوشت پخته شده استفاده شده است (Hopkins et al., 2011). به‌منظور به دست‌آوردن نرخ از دست دادن رطوبت، نمونه‌ها وزن گردیدند و در نهایت منحنی سینتیک خشک کردن استخراج گردید. با توجه به حساسیت محتوای پروتئینی موجود در یونجه، خشک شدن نمونه‌ها به‌صورت طبیعی و بدون استفاده از حرارت انجام شد که برای شبیه‌سازی خشک شدن یونجه در شرایط مزرعه از این روش استفاده شده است.

شدت ساقه‌کوبی به‌صورت تعداد ضربات وارد به ساقه تعریف می‌گردد. در این تحقیق تأثیر شدت ساقه‌کوبی بر سینتیک خشک کردن یونجه و ماکزیمم نیروی مورد نیاز برای جدا کردن برگ از ساقه مورد مطالعه قرار گرفته است. از نظر آماری، آزمایش‌ها به‌صورت فاکتوریل با طرح بلوک‌های کامل تصادفی طراحی گردید. متغیرهای مستقل آزمایش‌ها، شامل شدت ساقه‌کوبی یونجه و زمان می‌باشد. شدت ساقه‌کوبی در سه شدت، ساقه‌کوبی با شدت کم (ساقه در ۳ محل ضربه خورده)، ساقه‌کوبی با شدت متوسط (ساقه در ۸ محل ضربه خورده) و ساقه‌کوبی شدید (ساقه در ۱۳ محل ضربه خورده) و زمان نیز در فواصل زمانی ۲ ساعته (۱۵ نمونه‌برداری ۲ ساعته) تا خشک شدن کامل یونجه در نظر گرفته شد. لازم به ذکر است که تعداد ضربه در شدت‌های مختلف ساقه‌کوبی با توجه به محدوده سرعت پیشروی تراکتور در منابع (۵ تا ۱۰ کیلومتر بر ساعت) و با در نظر گرفتن سرعت غلتک‌ها، قطر آن‌ها و زوایای وارد شدن علوفه یونجه در نظر گرفته شده است. برای شبیه‌سازی اثر ساقه‌کوبی بر روی ساقه یونجه، از لاستیک‌های مشابه غلتک‌های ماشین ساقه‌کوبی برای ایجاد لهیدگی بر روی ساقه و به‌صورت دستی استفاده شد (شکل ۲). این شبیه‌ساز قابلیت تغییر غلتک‌های با تعداد تیغه مختلف را دارا می‌باشد. همچنین یک دیمر برای تغییر سرعت دورانی محور در نظر گرفته شده است.

قابل‌قبولی بین مقادیر شبیه‌سازی شده و اندازه‌گیری شده محتوای آب به‌دست آمد (Bartzanis et al., 2012). در مطالعه‌ای با استفاده از روش دینامیک سیالات محاسباتی، تأثیر قطر ذرات مواد غذایی بر روی پارامترهای عملکردی سیکلون جداکننده شامل افت فشار و سرعت مورد مطالعه قرار گرفت (Rezvanivandefanayi and Sabrailou et al., 2015). صبرعلیلو و همکاران (Sabrailou et al., 2015) مطالعه‌ای را بر روی پروانه‌ی ۶ پره موتور تراکتور ITM399 با استفاده از روش حجم محدود و مدل تعیین نویز جریان نویز پهن باند موجود در نرم‌افزار انسیس فلونت انجام دادند. طبق نتایج، بیشینه مقدار نویز در نوک پرها گزارش شد که به علت وجود سرعت و فشار دینامیکی بالا در این ناحیه بود. همچنین یک مطالعه عددی به بررسی جداسازی گندم با استفاده از سیکلون استرماند بازده بالا انجام شد. در مطالعه آن‌ها در ۶ سرعت مختلف ورودی مواد (۱۰، ۱۲، ۱۴، ۱۶، ۱۸ و ۲۰ متر بر ثانیه) و همچنین ۳ دبی جرمی مختلف (۰/۰۱، ۰/۰۵ و ۰/۱ متر بر ثانیه)، مشخصات داخل سیکلون از جمله بازده جداسازی و افت فشار به‌صورت کامل مورد بررسی قرار گرفت (Naimi et al., 2019). در مطالعه دیگری اثر تیغه انحرافی بر ویژگی‌های جریان در محفظه جداسازی نخود به‌صورت عددی و تجربی مطالعه گردید. در این پژوهش از مدل k-ε استاندارد برای شبیه‌سازی جریان آشفتنه و از حلگر بر مبنای فشار برای حلگر جریان بهره گرفته شد. همچنین نتیجه نشان داد که مدل آشفتنه مورد نظر از توانایی بالایی برای شبیه‌سازی جریان‌های آشفتنه در جداکننده‌های ثقلی برخوردار است (Zobeiri et al., 2019). در بخش فرآوری چغندر قند در یک کارخانه تولید شکر، شبیه‌سازی ترموکمپرسور بخار به‌منظور کاهش مصرف انرژی در بخش کریستالیزاسیون مورد مطالعه قرار گرفت. در این مطالعه بخار مرده به‌وسیله یک ترموکمپرسور احیا شده و برای مصرف دوباره مورد مصرف قرار گرفت (Rezvanivandefanayi et al., 2019).

با توجه به بررسی منابع و در نظر گرفتن حساسیت مواد پروتئینی موجود در یونجه به حرارت، تاکنون مطالعه جامعی در جهت بررسی شدت ساقه‌کوبی یونجه در شرایط بدون استفاده از خشک‌کن صنعتی انجام نشده است. همچنین، مطالعه عددی در قالب شبیه‌سازی فرآیند انتقال جرم به هنگام خشک شدن یونجه صورت نگرفته است. هدف از این تحقیق توسعه یک مدل عددی به‌منظور دستیابی به یک روش دقیق و سریع برای بررسی فرآیند خشک کردن یونجه و نیز بررسی کیفیت آن با استفاده از داده‌های تجربی می‌باشد. همچنین نمودار سینتیک خشک کردن در شدت‌های مختلف ساقه‌کوبی استخراج شده است. سپس با ارزیابی نمودن زمان مناسب برای رسیدن به مقدار رطوبت بهینه جهت بسته‌بندی یونجه و بررسی تلفات در شدت‌های مختلف، بهترین حالت برای ساقه‌کوبی پیشنهاد گردیده است.



شکل ۱- روندنمای انجام کارهای تجربی

Fig. 1. Diagrams of experimental works



شکل ۲- شبیه‌ساز ساقه‌کوب مورد استفاده

Fig.2. Used simulator for conditioning

که در آن D_p وزن ماده خشک، W_w وزن نمونه تر قبل از قرار دادن در کوره و W_d وزن نمونه خشک بعد از خارج کردن از کوره می‌باشد. تمامی نمونه‌ها به ازای هر دو ساعت با استفاده از ترازوی دیجیتال AND مدل DJ-V320A با دقت ۰/۰۰۱ گرم، وزن شده و سپس با به‌دست آمدن مقدار رطوبت محصول، برای استخراج ماکزیمم نیروی جدایش برگ از ساقه توسط دستگاه بافت‌سنج^۱ مدل TA XT plus استفاده شد. برای داده‌برداری‌ها، از گیره‌های کششی متصل به پروب و از یک نیروسنج ۵ کیلوگرمی استفاده شد که در آن

هر تیمار شامل ۶ نمونه ۵۰ گرمی بودند که برای اندازه‌گیری ویژگی‌های محصول در مراحل مختلف مورد استفاده قرار گرفتند (شکل ۳-الف). متغیرهای وابسته آزمایش‌ها شامل رطوبت محصول و نیروی جدایش برگ از ساقه می‌باشند. به‌منظور به‌دست آوردن مقدار ماده خشک محصول، دو نمونه از محصول طبق استاندارد، در کوره تحت دمای ۱۰۵ درجه سلسیوس و مدت زمان ۲۴ ساعت طبق استاندارد ASAE S355.2 خشک شدند.

در ادامه، محصول خشک شده وزن گردید و مقدار ماده خشک آن طبق رابطه (۳) حاصل شد (Wiersma et al., 1993):

$$D_p = W_w - W_d \quad (3)$$

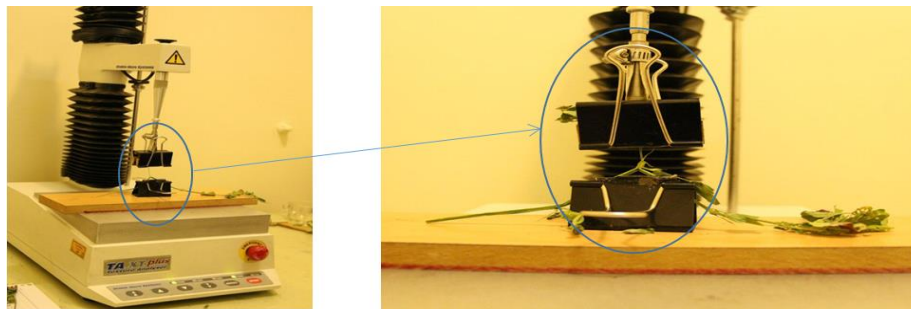
1- Texture Analyzer

برای ساقه یونجه در سه سطح ۵، ۱۰ و ۲۰ میلی‌متر بر دقیقه در نظر گرفته شد (Nazari et al., 2009). در مطالعه‌ای دیگر از یک دستگاه بافت‌سنج برای به‌دست آوردن مقاومت نهایی، چقرمگی و همچنین مدول یانگ پوست انگور سفید بی‌دانه استفاده کردند (Hassanpour et al., 2011).

دقت اندازه‌گیری نیرو و جابه‌جایی به‌ترتیب برابر ± 0.001 گرم و ± 0.001 میلی‌متر می‌باشد (شکل ۴). سرعت پروپ دستگاه بافت‌سنج بر روی ۱۰ میلی‌متر بر دقیقه تنظیم گردید. در مطالعه‌ای، نویسندگان تاثیر محتوای رطوبتی و نرخ بارگذاری بر روی مقاومت کششی یونجه را مورد بررسی قرار دادند. در این مطالعه، نرخ بارگذاری پروپ کششی



شکل ۳- (الف): دسته‌بندی‌های مختلف برای محصول یونجه، (ب) نمایی از یک ساقه کوبیده شده
Fig.3. Alfalfa crop (a) various classifications, (b) a view of a conditioned stem



شکل ۴- دستگاه بافت‌سنج TA XT plus
Fig.4. TA XT plus texture Analyzer

نتایج استخراج شده در نرم‌افزار SPSS 23 Statistics 23 از نظر آماری مورد تجزیه تحلیل قرار گرفت. همچنین برای مطالعه معنی‌داری از آزمون چند دامنه‌ای دانکن استفاده گردید.

شبیه‌سازی عددی

در پژوهش حاضر، هندسه ساقه یونجه در نرم‌افزار گمبیت ۲،۴،۶ رسم گردید و پس از شبکه‌بندی و اعمال شرایط مرزی به نرم‌افزار انسیس فلونت ۱۵ منتقل گردید. سپس نوع حلگر به‌صورت حلگر بر مبنای فشار انتخاب شد و پس از تنظیم موارد مربوط به حل از جمله تعیین باقی‌مانده و اعمال فاکتورهای زیرتخفیف^۱، شبکه از نظر استقلال شبکه بررسی شد و نتایج مربوطه استخراج گردید.

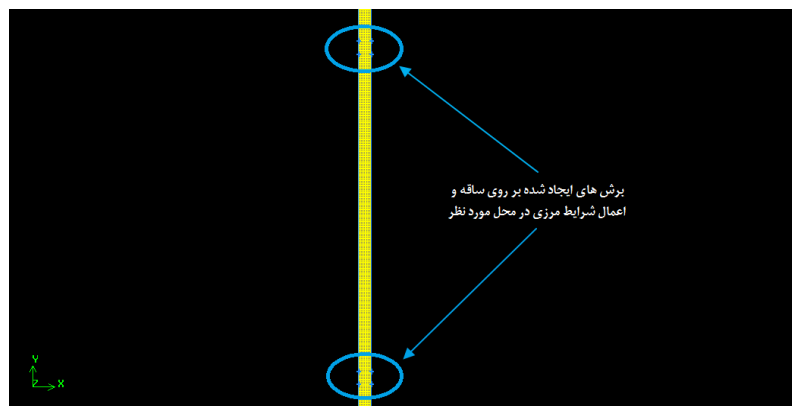
برای به‌دست آوردن نسبت رطوبت از رابطه (۴) استفاده شد (Doymaz, 2007):

$$MR = \frac{M_t - M_e}{M_0 - M_e} \quad (4)$$

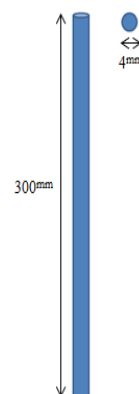
که در آن، MR نسبت رطوبت، M_t میزان رطوبت در هر لحظه (kg_{water}/kg_{ms}) ، M_e رطوبت تعادلی (kg_{water}/kg_{ms}) و M_0 محتوای رطوبت اولیه (kg_{water}/kg_{ms}) می‌باشد. لازم به ذکر است که m_s اندیس واحد محتوای رطوبت جرم ماده جامد می‌باشد. با توجه به این که مقدار M_e در مقایسه با مقادیر M_t و M_0 مقدار کوچکی است، لذا می‌توان از آن صرف‌نظر کرد و رابطه (۴) به‌صورت رابطه (۵) تغییر می‌کند (Doymaz, 2007):

$$MR = \frac{M_t}{M_0} \quad (5)$$

1- Under relaxation factors



شکل ۶- شبکه‌بندی ساقه بونجه
Fig.6. Meshing of alfalfa stem



شکل ۵- هندسه ساقه بونجه
Fig.5. Geometry of alfalfa stem

توجه به شرایط مسئله از شرط مرزی ورودی^۳، شرط مرزی خروجی^۴ و شرط مرزی دیواره^۵ در حالت استاندارد استفاده شده است (جدول ۲).

جدول ۱- مقادیر مربوط به کیفیت شبکه

پارامتر کیفیت	مقدار
Quality parameter	Value
Maximum aspect ratio	9.94
Minimum Orthogonal Quality	0.86
Maximum Orthogonal Skewness	0.21

برای مدل جریان، معادلات پیوستگی و مومنتوم در سه راستا برای سرعت‌های سطحی هوا و توزیع سرعت حل گردید. اساس حل و استخراج میدان در نرم‌افزارهای مختلف عددی، بر پایه معادلات بقا می‌باشد که معادله پیوستگی (قانون بقای جرم)، معادله مومنتوم و معادله انرژی به ترتیب به صورت رابطه‌های (۶) تا (۸) ارائه شده‌اند (Anderson, 2009):

$$\frac{\partial \rho}{\partial t} = \frac{\partial}{\partial x_i} (\rho u_i) \quad (6)$$

$$\frac{\partial}{\partial t} (\rho u_i) + \frac{\partial}{\partial x_j} (\rho u_i u_j) = \frac{\partial}{\partial x_i} \left[-p \delta_{ij} + \mu \left(\frac{\partial u_i}{\partial x_j} + \frac{\partial u_j}{\partial x_i} \right) \right] + \rho g_i \quad (7)$$

- 3- Inlet boundary condition
- 4- Outlet boundary condition
- 5- Wall boundary condition

رسم هندسه کلی در نرم‌افزار گمبیت و شبکه‌بندی

برای رسم هندسه بونجه، چند نمونه تصادفی از ساقه‌های بونجه انتخاب و پس از اندازه‌گیری مؤلفه‌های مربوط به وجوه مختلف، میانگینی از ابعاد به‌عنوان اندازه مورد استفاده در مدل هندسی مورد استفاده قرار گرفت. با توجه به این که می‌توان ساقه بونجه را با تقریب خوبی به صورت متقارن محوری^۱ در نظر گرفت، برای کاهش زمان پردازش در انجام تحلیل‌ها از مدل دو بعدی استفاده گردید. شماتیکی از هندسه به همراه شبکه‌بندی آن در قالب شکل‌های ۵ و ۶ ارائه شده است.

شبکه‌بندی

بعد از رسم هندسه، بایستی مدل هندسی شبکه‌بندی گردد تا تمامی معادلات برای شبکه‌ها حل گردیده و سپس جواب نهایی استخراج گردد. از این رو با توجه به نوع هندسه، انتخاب نوع شبکه مناسب از اهمیت بالایی برخوردار است. با توجه به ویژگی‌های هندسی مسئله و قابلیت‌های شبکه‌های مختلف، از شبکه چهارضلعی^۲ استفاده شد تا جواب مدل دقت بالایی داشته باشد. لازم به ذکر است که برای شبکه‌بندی مورد نظر، با توجه به ساختار با سازمان، مقادیر مربوط به کیفیت شبکه در جدول ۱ ارائه شده است.

تعریف شرایط مرزی

بعد از رسم هندسه و شبکه‌بندی، ارائه شرایط مرزی برای مسئله ضروری بوده و تعریف نوع صحیح آن حائز اهمیت بالایی است. با

- 1- Axisymmetric
- 2- Quad

جدول ۲- شرایط مرزی استفاده شده در شبیه‌سازی‌ها

Table 2- Applied boundary condition in simulations

شرط مرزی مورد استفاده Used boundary condition	توصیف شرط مرزی Boundary condition description
شرط مرزی ورودی Inlet boundary condition	برای اعمال شرایط مرزی سرعت For applying velocity boundary condition
شرط مرزی خروجی Outlet boundary condition	شرط مرزی فشار خروجی در محل ضربات Pressure outlet boundary condition in impacts
شرط مرزی دیواره Wall boundary condition	دیواره استاندارد برای اثرات دیواره Standard wall for wall effects

ارائه شده است (شکل ۸). با مقایسه این نمودارها می‌توان دریافت که بافت گیاه در مواجهه با شدت‌های مختلف ساقه کوبی چه پاسخی را از خود نشان می‌دهد. در این نمودار نسبت رطوبت در مقابل زمان خشک شدن در ۴ تیمار مختلف شاهد، ۳ ضربه، ۸ ضربه و ۱۳ ضربه ارائه شده است. شکل ۸ نمودار تغییرات نسبت رطوبت را پس از گذشت ۳۰ ساعت و رسیدن رطوبت نمونه‌ها به حدود ۱۰ درصد نشان می‌دهد. در ابتدای فرآیند خشک شدن اختلاف بین تیمارهای مختلف کم است، ولی بعد از گذشت حدود ۵ ساعت از ابتدای شروع این فرآیند، اختلاف بین تیمارهای مختلف و علی‌الخصوص بین تیمار شاهد و تیمار ۱۳ ضربه با شدت بیشتری افزایش می‌یابد.

همانطور که انتظار می‌رود یونجه با ساقه کوبی شدید، سطح رطوبتی پایین‌تری نسبت به سایر تیمارها دارد. با توجه به شکل ۸، برای رسیدن یونجه به رطوبت حدود ۱۵ درصد در ساقه کوبی‌های با شدت کم، متوسط و شدید، به ترتیب حدود ۱۴/۵، ۱۳ و ۱۲ ساعت زمان نیاز است که این مقدار برای نمونه شاهد در حدود ۱۸ ساعت است، لذا ساقه کوبی بسته به شدت آن (کم، متوسط و شدید) می‌تواند زمان رسیدن به رطوبت ایده‌آل جهت بسته‌بندی را به ترتیب ۱۹/۴، ۲۷/۷ و ۳۳/۳ درصد برای شدت کم، متوسط و شدید کاهش دهد.

در نتایج تحقیقات روتز و چن (Rotz and Chen, 1985) به‌دست آمده است که کوبش‌های ایجاد شده بر روی ساقه گیاه یونجه در حین ساقه کوبی، نرخ استفاده از محلول‌های شیمیایی و همچنین محتوای رطوبتی اثر مستقیمی بر زمان خشک شدن یونجه دارد.

در جدول ۳ و ۴ نتایج مربوط به تجزیه واریانس منابع تغییر به ترتیب در آزمایش‌های اول و دوم ارائه شده است. در آزمایش اول شدت ساقه کوبی در ۳ سطح، زمان در ۷ سطح به‌عنوان متغیرهای مستقل و نسبت رطوبت گیاه یونجه بعد از خروج رطوبت از آن به‌عنوان متغیر وابسته در نظر گرفته شد. لازم به ذکر است که آزمایش در ۳ تکرار انجام پذیرفت. نتایج نشان می‌دهد که هر دو تیمار شدت ساقه کوبی و زمان اثر معنی‌داری در سطح احتمال ۹۹٪ بر روی زمان خشک شدن یونجه دارد.

$$\frac{\partial(\rho E)}{\partial t} + \frac{\partial}{\partial x_i}(\rho u_i E + u_i p) = \frac{\partial p}{\partial t} + \frac{\partial}{\partial x_i}(k_{eff} \frac{\partial T}{\partial x_i}) + \frac{\partial}{\partial x_i}(u_i \tau_{ij})$$

$$\tau_{ij} = \mu_{eff} \left(\frac{\partial u_i}{\partial x_j} + \frac{\partial u_j}{\partial x_i} \right) - \frac{2}{3} \mu_{eff} \frac{\partial u_k}{\partial x_k} \delta_{ij}$$

که در آن، ρ چگالی (kg m^{-3})، t زمان (s)، u_i و u_j به ترتیب اجزای سرعت سطحی (m.s^{-1})، فشار P (Pa)، g_i شتاب جاذبه (m.s^{-2})، ویسکوزیته τ (Pa.s) تانسور تنش P (Pa)، انرژی کل (J)، k انرژی جنبشی آشفته ($\text{m}^2 \cdot \text{s}^{-2}$)، T دما (K) و $i, j = 1, 2, 3$ (x, y, z) هستند. از حگر بر پایه فشار استفاده شده و مسئله به‌صورت پایا حل شد. خواص مربوط به یونجه با در نظر گرفتن ساختار متخلخل آن از کتابخانه نرم‌افزار انسیس فلونت فراخوانی شد. ضرایب زیر تخفیف به‌جز برای چگالی، مقادیر پیش‌فرض نرم‌افزار در نظر گرفته شد. از روش گسسته‌سازی مرتبه دوم پیشرو بهره برده شد. همچنین کوپلینگ سرعت و فشار با استفاده از اسکیم SIMPLE^۱ انجام پذیرفت.

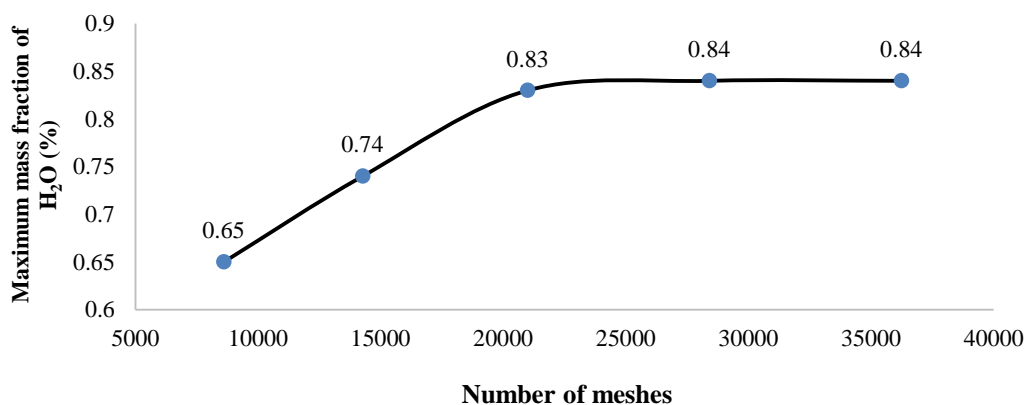
آزمون استقلال از شبکه

برای این که حل شبکه محاسباتی از تعداد شبکه مستقل باشد، آزمونی تحت عنوان آزمون استقلال از شبکه انجام گرفت. در این پژوهش از ۵ سطح شبکه شامل ۸۶۱۰ (سطح یک)، ۱۴۲۷۴ (سطح دو)، ۲۱۰۱۰ (سطح سه)، ۲۸۴۱۴ (سطح چهار) و ۳۶۲۴۶ (سطح پنج) عدد شبکه برای سطوح شبکه‌بندی‌ها بهره برده شد. مشخص شد که بعد از شبکه سطح سوم عدد شبکه (۲۱۰۱۰) تغییر محسوسی در جواب ایجاد نمی‌شود (شکل ۷). بنابراین از این سطح شبکه برای انجام شبیه‌سازی‌ها استفاده شد.

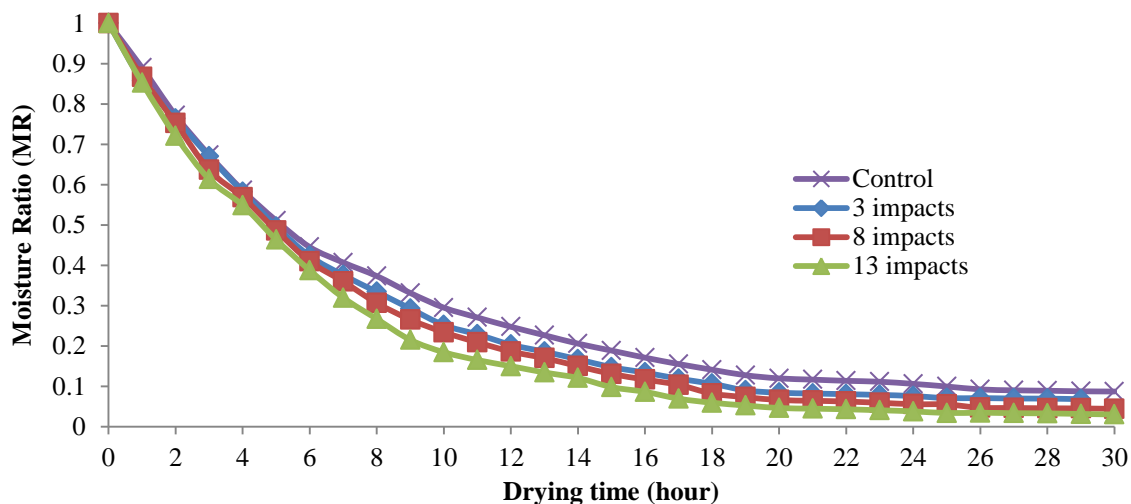
نتایج و بحث

در این بخش نمودار سینتیک خشک شدن نمونه‌های مختلف

1- Semi Implicit Method for Pressure Linked Equation



شکل ۷- آزمون استقلال از شبکه
Fig. 7. Mesh independency test



شکل ۸- سینتیک خشک شدن تیمارهای مختلف بونجه
Fig. 8. Drying kinetics of various treatments of alfalfa

جدول ۳- نتایج تجزیه واریانس (میانگین مربعات) شدت ساقه‌کوبی و زمان بر روی نسبت رطوبت

Table 3- Results of variance analyses (mean square) of Conditioning intensity and time on the moisture ratio

منبع تغییرات Source of variations	درجه آزادی Degree of freedom	میانگین مربعات Mean square	مقدار F F-Value	احتمال Probability
شدت ساقه‌کوبی Conditioning intensity	2	85.597	3326.344**	<0.0001
زمان Time	6	8248.189	320529.436**	<0.0001
شدت ساقه‌کوبی×زمان Conditioning intensity× Time	12	2.695	104.735**	<0.0001
خطا Error	40	0.026		
کل Total	62			

** اختلاف معنی‌دار در سطح احتمال یک درصد
** Significant difference in 1% probability level

ساقه‌کوبی و زمان بر روی بیشینه نیروی جدایش برگ از ساقه نیز در سطح آماری یک درصد، معنی‌دار به‌دست آمده است.

هم‌چنین در آزمایش دوم، شدت ساقه‌کوبی و زمان به‌عنوان متغیرهای مستقل و بیشینه نیروی جدایش برگ از ساقه به‌عنوان متغیر وابسته در نظر گرفته شد. طبق نتایج به‌دست آمده شدت

جدول ۴- نتایج تجزیه واریانس (میانگین مربعات) شدت ساقه‌کوبی، زمان بر روی نیروی جدایش برگ از ساقه
Table 4- Results of variance analyses (mean square) of Conditioning intensity, and time on the leaf-stem separation force

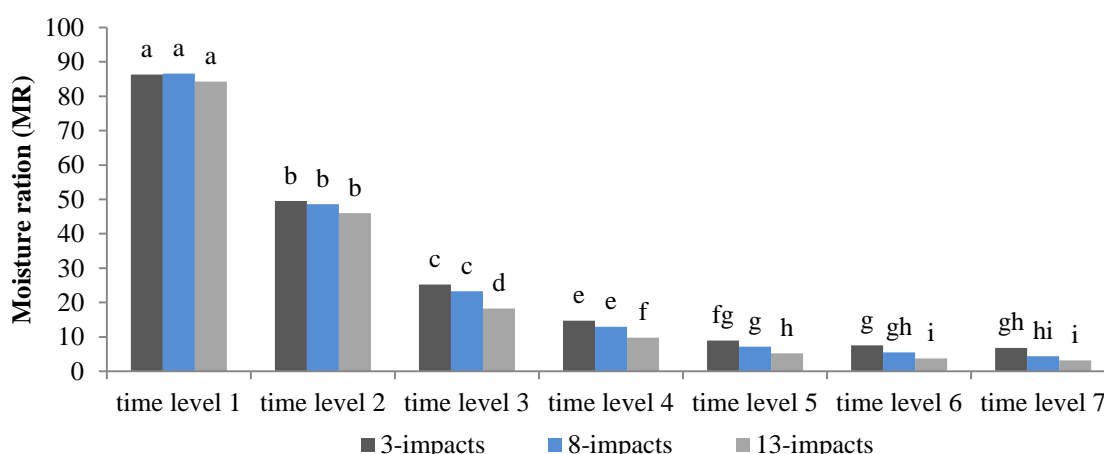
منبع تغییرات Source of variations	درجه آزادی Degree of freedom	میانگین مربعات Mean square	مقدار F F-Value	احتمال Probability
شدت ساقه‌کوبی Conditioning intensity	2	0.589	702.659**	<0.0001
زمان Time	3	0.530	631.884**	<0.0001
شدت ساقه‌کوبی×زمان Conditioning intensity× Time	6	0.021	25.099**	<0.0001
خطا Error	22	0.001		
کل Total	35			

** اختلاف معنی‌دار در سطح احتمال یک درصد

**Significant difference in 1% probability level

بافت ساقه می‌باشد. همچنین سطح سوم ساقه‌کوبی و سطح هفتم زمان دارای کم‌ترین تأثیر بر روی فرآیند خشک کردن می‌باشد؛ چرا که بافت ساقه مقدار محتوای رطوبتی زیادی را قبل از این تیمار از دست داده و تغییرات رطوبت به سبب این تیمار دارای کم‌ترین مقدار خود است.

برای آزمایش اول، از شکل ۹ که در مورد مقایسه میانگین آزمون چند دامنه‌ای دانکن برای نسبت رطوبت است می‌توان نتیجه گرفت که سطح دوم ساقه‌کوبی و سطح اول زمان، بیشترین تأثیر را بر فرآیند خشک کردن داشته است و هر سه تیمار سطح اول زمان در یک گروه قرار دارند. دلیل قرار گرفتن این سه تیمار فوق در یک گروه به خاطر نرخ بالای انتقال رطوبت در ابتدای آزمایش و انتقال آب آزاد داخل

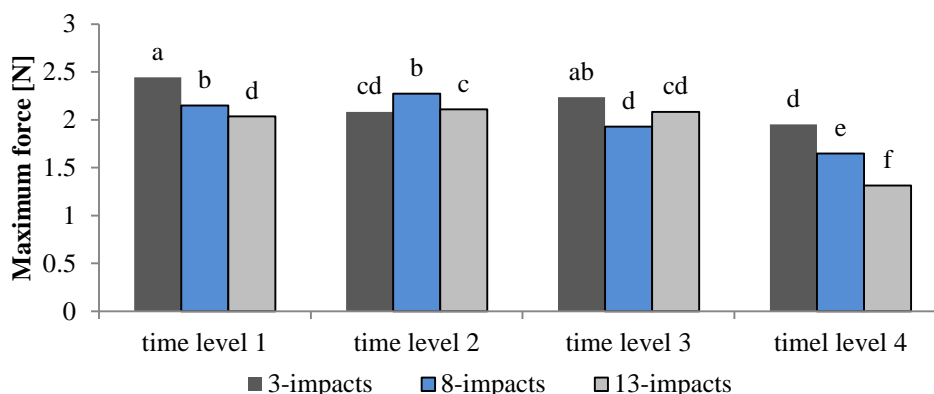


شکل ۹- نتایج مقایسه میانگین با استفاده از آزمون دانکن برای آزمایش اول (نسبت رطوبتی)

Fig. 9. Results of Duncan test to compare means for first experiment (moisture ratio)

برای جدایش برگ از ساقه می‌شود. دلیل اصلی کاهش نیروی ماکزیمم جدایش برگ از ساقه، کاهش رطوبت محصول است که تحت تاثیر شدت‌های مختلف ساقه‌کوبی می‌باشد. در مطالعه نظری و همکاران (Nazari et al., 2008)، تاثیر سطوح مختلف رطوبت (۲۰، ۴۰ و ۸۰ درصد محتوای رطوبتی در مبنای تر) بر روی توان برشی و انرژی برش در سطح احتمال ۵ درصد مانند مطالعه حاضر به‌صورت معنی‌دار به‌دست آمد.

در آزمایش دوم شدت ساقه‌کوبی در ۳ سطح و زمان در ۴ سطح در نظر گرفته شده‌اند. در مورد شکل ۱۰ نیز می‌توان این‌گونه بیان کرد که در ابتدا با توجه به ساختار ساقه (دارای محتوای رطوبتی بالا) و همچنین زمان کوتاه‌تر در تیمار سطح ساقه‌کوبی اول و محدوده زمانی اول برای از دست دادن رطوبت، نیروی جدایش بالایی مورد نیاز بوده است. برعکس، تیمار دارای سطح سوم ساقه‌کوبی و محدوده زمانی چهارم، با اعمال شدت ساقه‌کوبی بالاتر و همچنین گذر زمان، بافت گیاه بونجه خشک شده و باعث کاهش بیشینه نیروی مورد نیاز



شکل ۱۰- نتایج مقایسه میانگین با استفاده از آزمون چند دامنه‌ای دانکن برای آزمایش دوم (نیروی جدایش برگ از ساقه)
Fig.10. Results of Duncan test to compare means for second experiment (leaf-stem separation force)

می‌افتد. در کارهای مشابه ویژگی‌های خمشی و برشی ساقه گل رنگ در رطوبت‌های مختلف مورد مطالعه قرار گرفته است. طبق نتایج به‌دست آمده کاهش رطوبت ساقه سبب کاهش تنش برشی اعمال شده و همچنین نیروی برشی شده است (Shahbazi and Nazari, 2012). همچنین در مطالعه مربوط به تأثیر محتوای رطوبتی بر ویژگی‌های برشی کاه جو، محققان به این نتیجه رسیده‌اند که با کاهش رطوبت، تنش برشی و انرژی برش کاهش می‌یابد (Tavakoli et al., 2009).

تأثیر رطوبت محصول بر نیروی جدایش برگ از ساقه

از جمله عوامل مهم موثر بر نیروی جدایش برگ از ساقه، محتوای رطوبتی بافت در زمان آزمایش است که باید از نظر تأثیر بر مقدار نیرو در زمان بررسی شود. از این رو سه نمونه از محصول ساقه‌کوبی شده بونجه با شدت‌های مختلف که نسبت‌های رطوبت‌های مختلف داشتند از نظر نیروی جدایش برگ از ساقه با همدیگر مقایسه شده و نتایج حاصل گزارش گردید (جدول ۵). با کاهش مقدار رطوبت، میزان نیروی مورد نیاز با نرخ بیشتری کاهش می‌یابد که به دلیل کاهش میزان رطوبت و تردتر شدن محصول اتفاق

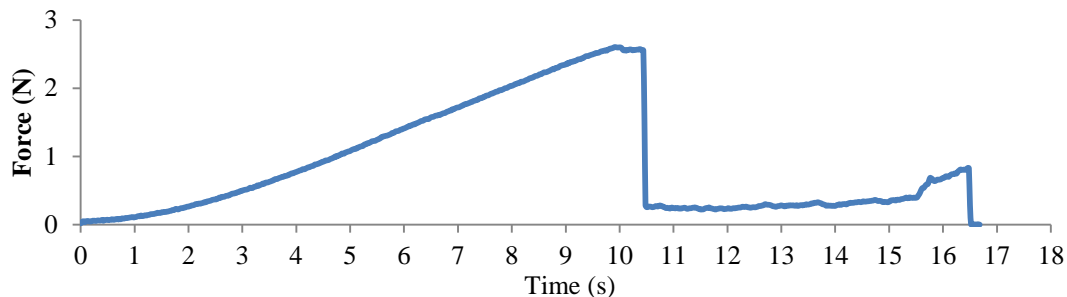
جدول ۵- مقدار ماکزیمم نیروی جدایش برگ ۶ ساعت بعد از شروع آزمایش در درصدهای مختلف رطوبت و شدت‌های ساقه‌کوبی

Table 5- Maximum leaf separation force for different moisture percent in 6 hours after starting the experiments at various conditioning intensities

شدت ساقه‌کوبی Conditioning intensity	درصد رطوبت Moisture Percent (%)	مقدار ماکزیمم نیرو Maximum Force (N)
شاهد (Control)	51.05	2.19
۳ ضربه (3 impacts)	49.56	2.15
۸ ضربه (8 impacts)	48.62	2.12
۱۳ ضربه (13 impacts)	46.33	2.07

ایجاد شده در نمودار نیرو-زمان می‌گردد (Engels and Jung, 1998).

نظری و همکاران (Nazari, et al., 2008) مطالعه‌ای در قالب تاثیر محتوای رطوبتی (چهار سطح) و ارتفاع ساقه (سه سطح) بر روی تعدادی از ویژگی‌های مهندسی ساقه گیاه یونجه انجام دادند. طبق نتایج به دست آمده در این مطالعه، توان برشی با افزایش محتوای رطوبتی، افزایش یافت، که در توافق با نتایج این مطالعه است. همچنین انرژی برش نیز با افزایش محتوای رطوبتی یک روند افزایشی را نشان داد. لازم به ذکر است، بیشترین توان برشی متعلق به بخش پایینی ساقه و کمترین توان برشی به بخش بالایی ساقه تعلق داشت.



شکل ۱۱- نمودار نیرو- زمان برای سرعت پروب ۱۰ میلی‌متر بر دقیقه در تیمار سه ضربه
Fig. 11. Force-time chart in probe speed of 10 mm min⁻¹ for 3 impacts treatment

همچنین خطای قطع^۲ خواهد شد که در هر دو مورد خطای عددی را افزایش خواهد داد.

نتایج مربوط به شبیه‌سازی عددی در قالب کانتورهای اندازه سرعت و کانتورهای نسبت جرمی مربوط به رطوبت (بخار آب) در ادامه ارائه شده است. لازم به ذکر است که به دلیل حجم بالای نتایج مربوط به حالت‌های مختلف، نتایج شبیه‌سازی مربوط به تیمار شاهد و سایر تیمارها برای حالت با سه ضربه ارائه شده است.

اندازه سرعت

اندازه سرعت برای مجرای داخلی ساقه بیانگر نرخ انتقال رطوبت در داخل ساقه است. با توجه به ماهیت حل مسئله که به صورت گذرا است، کانتور اندازه سرعت برای بخش‌های بالایی و پایینی ساقه یونجه ارائه شده است. همان‌گونه که از شکل ۱۳ مشخص است، برای هر دو بخش در نزدیکی بخش‌هایی که ضربه به آن بخش‌ها وارد شده است، گرادیان سرعت مشهود است که این گرادیان به خاطر تغییرات مسیر و تغییرات سرعت محوری در آن نقاط ایجاد شده است

نظر به اهمیت نیروی ماکزیمم برای جدایش برگ از ساقه، مقدار تغییرات این پارامتر برای تیمار ۳ ضربه به تصویر کشیده شد. همانطوری که در شکل ۱۱ مشاهده می‌گردد، با شروع فرآیند کشش در دستگاه بافت‌سنج، مقدار نیروی کششی در ده ثانیه اول افزایشی تقریباً خطی داشته و سپس با یک افت ناگهانی در یک مقدار پایین ثابت قرار گرفته و در نهایت به مقدار صفر (جدا شدن کامل برگ از ساقه‌گاه یونجه) رسیده است. دلیل این تغییرات نیرو به ازای زمان، به بافت بخش اتصال یافته برگ به ساقه مربوط می‌گردد که نشان‌دهنده ساختار چندلایه (بیشینه مقدار قله اول مربوط به لایه بیرونی و مقدار بیشینه قله دوم مربوط به لایه داخلی) بخش اتصال می‌باشد. چرا که لایه‌های بیرونی و درونی با توجه به همین ساختار چندلایه سطوح رطوبتی مختلفی دارند و همین تفاوت در سطح رطوبت سبب تغییرات

شبیه‌سازی

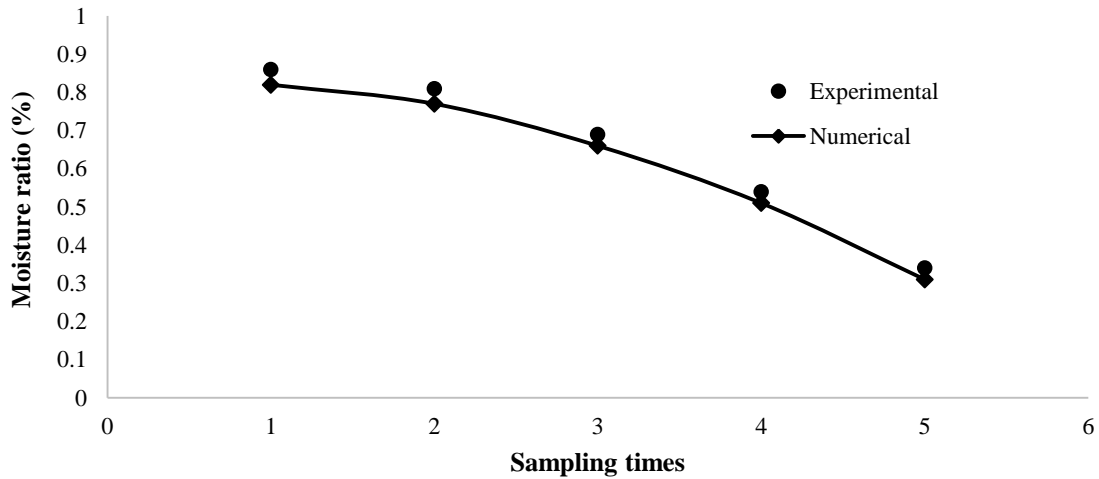
برای اطمینان از صحت نتایج به دست آمده از شبیه‌سازی عددی، بایستی نتایج شبیه‌سازی با نتایج حاصل از نتایج تجربی اعتبارسنجی گردد. برای این منظور از مقدار رطوبت که به صورت تجربی اندازه‌گیری شده بود و مقایسه آن با مقدار رطوبت خروجی از نرم‌افزار استفاده گردید و نتایج مربوطه در قالب شکل ۱۲ ارائه گردیده است. همان‌طور که در شکل ۱۲ مشاهده می‌گردد، نتایج شبیه‌سازی از تطابق بالایی با نتایج تجربی (ماکزیمم خطای ۸/۸٪) برخوردار است. دلایل این تطابق خوب را می‌توان توانمندی بالای روش دینامیک سیالات محاسباتی در شبیه‌سازی فرآیند انتقال جرم دانست که در تحقیقات قبلی نیز به آن اشاره شده است (Erriguible et al., 2006; Jamaledine et al., 2010). همچنین انتخاب تعداد مناسب مش برای شبکه‌بندی هندسه و انتخاب مدل مناسب جهت تحلیل عددی دانست. چرا که اگر تعداد مناسب شبکه‌بندی (چه تعداد بسیار بالا و چه تعداد پایین) اتخاذ نگردد، سبب افزایش خطای گرد کردن^۱ و

2- Truncation error

1- Round-off error

لحاظ شده است. همچنین با توجه به شکل ۱۳-ب می‌توان دریافت که برش‌های ایجاد شده با هدایت رطوبت از محل‌های بریده شده سبب کاهش اندازه سرعت بعد از محل اعمال برش شده و تقریباً سبب کاهش ۳۰ درصدی در مقدار اندازه سرعت راستای حرکت رطوبت گردیده‌اند.

و سبب ایجاد تغییر در کانتور اندازه سرعت شده است. در شکل ۱۳-الف که به کانتور اندازه سرعت قسمت بالایی ساقه گیاه یونجه تعلق دارد، عمده مقدار سرعت در بخش مرکزی ساقه و در ادامه کاهش مقدار اندازه سرعت تا نزدیکی صفر در نزدیک دیواره، به‌خوبی نشان داده شده است که موید شرط عدم لغزش در نزدیک دیواره

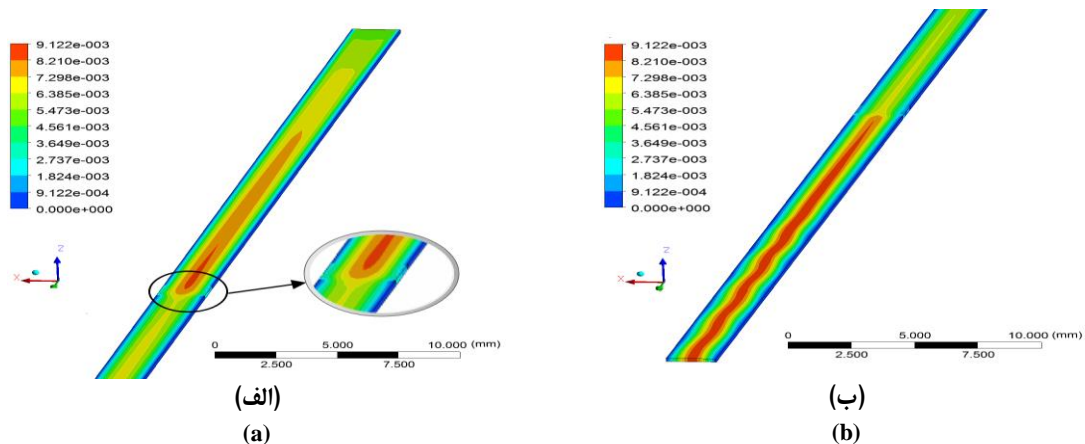


شکل ۱۲- اعتبارسنجی بین داده‌های تجربی و نتایج شبیه‌سازی

Fig. 12. Validation between experimental data and simulation results

از کانتورها این نتیجه قابل برداشت است که در محل‌های اعمال ضربه، سرعت انتقال رطوبت از حدود میانگین 0.005 mm.s^{-1} به حدود میانگین 0.002 mm.s^{-1} رسیده است و افزایش حدوداً ۴ برابری را در این مناطق نشان می‌دهد که علت خشک شدن سریع‌تر یونجه ساقه‌کوبی شده، همین مسئله است.

نکته مهم دیگری که از کانتورها استخراج می‌گردد؛ کاهش میزان سرعت در مقطع ساقه به‌واسطه مقاومت داخلی ساختار متخلخل گیاه است که رفته رفته باعث کاهش سرعت انتقال مواد می‌گردد. مقدار بیشینه سرعت برای بخش داخلی ساقه مقدار $9.122 \times 10^{-3} \text{ mm.s}^{-1}$ است که به نوعی مقدار پایین اندازه سرعت و به تبع آن انتقال جرم در داخل ساقه را نشان می‌دهد. ضمناً با استفاده



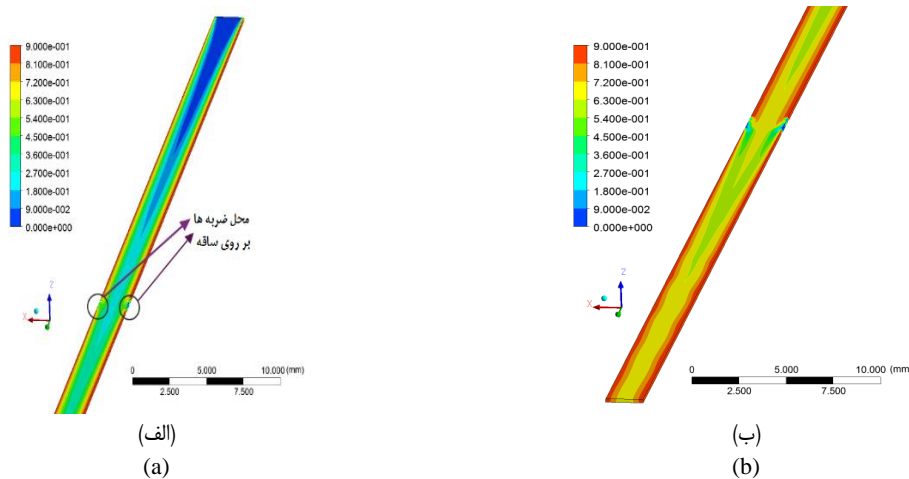
شکل ۱۳- کانتور اندازه سرعت؛ (الف): قسمت بالایی ساقه، (ب) قسمت پایینی ساقه

Fig. 13. Contour of velocity magnitude; (a): Top section of stem, (b): Bottom section of stem

نسبت جرمی رطوبت

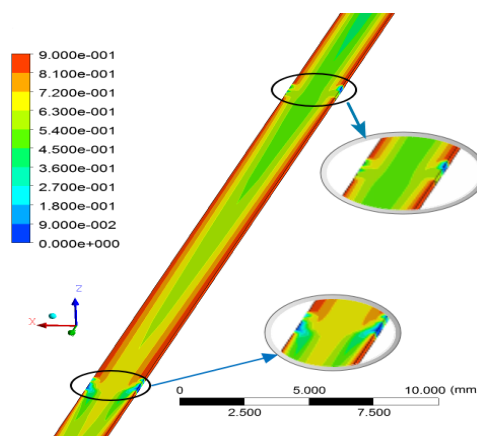
با توجه به اهمیت انتقال جرم در فرآیند انتقال رطوبت، کانتورهای مربوط به نسبت جرمی رطوبت آورده شده است. در شکل ۱۴-الف که به بخش بالایی گیاه اختصاص دارد با توجه به محل انباشتگی رطوبت که نزدیک به دیواره می‌باشد، نسبت رطوبت در این نواحی بالاست، در بخش بالایی و با توجه به مسدود در نظر گرفتن بخش انتهایی ساقه میزان انتقال رطوبت از این بخش دارای مقدار بسیار پایینی می‌باشد و در نزدیک دیواره به میزان صفر می‌رسد. همچنین در نزدیکی محل‌های اعمال ضربه با توجه به عدم انباشتگی رطوبت، دارای نسبت جرمی نسبتاً پایینی می‌باشد. علاوه بر موارد ذکر شده، در شکل ۱۵ محل اعمال دو ضربه در

کنار هم ارائه شده است تا روند کاهشی میزان رطوبت در محصول و خشک شدن آن با گذشت زمان و تحت تأثیر انتقال رطوبت از دیواره‌ها و همچنین محل‌های اعمال ضربه قابل توجیه باشد. همچنین میزان گرادیان نسبت جرمی در نزدیکی محل‌های اعمال ضربه به خوبی قابل مشاهده است. این نکته حائز اهمیت است که بیشترین میزان نسبت جرمی رطوبت در نزدیکی دیواره‌ها و به مقدار تقریبی ۰/۸۶ می‌باشد. از نظر نتایج به دست آمده از شبیه‌سازی سایر حالت‌ها نیز تطابق خوبی بین نتایج به دست آمده از نتایج تجربی و شبیه‌سازی‌های عددی برقرار است و در تمامی سطوح خطا زیر ۱۰ درصد می‌باشد. در جدول ۶ مقایسه‌ای بین داده‌های تجربی و نتایج شبیه‌سازی به همراه مقدار خطا بر حسب درصد ارائه شده است.



شکل ۱۴- کانتور نسبت جرمی رطوبت؛ (الف): قسمت بالایی ساقه، (ب) قسمت پایینی ساقه

Fig. 14. Mass fraction contour of humidity; (a): Top section of stem, (b): Bottom section of stem



شکل ۱۵- کانتور نسبت جرمی رطوبت

Fig. 15. Mass fraction contour of humidity

جدول ۶- مقایسه بین داده‌های تجربی و نتایج شبیه‌سازی نسبت جرمی رطوبت به همراه مقدار خطا بر حسب درصد

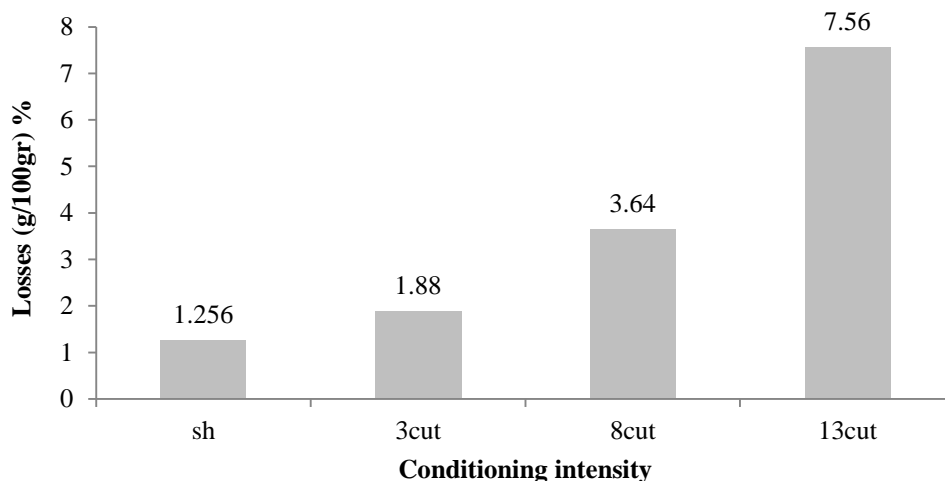
Table 6- A comparison of experimental data and numerical results of humidity mass fraction with error in percent

تیمار Treatment	تجربی Experimental	شبیه‌سازی Numerical	خطا (%) Error (%)
شاهد Control	0.86	0.81	6.17
۳ ضربه 3-impacts	0.86	0.82	4.65
۸ ضربه 8-impacts	0.85	0.82	3.66
۱۳ ضربه 13-impacts	0.83	0.76	8.4

تلفات

مقدار تلفات با ۱/۲۵۶ گرم به ازای ۱۰۰ گرم و دسته ۱۳ ضربه دارای بیشترین تلفات با مقدار ۷/۵۶ گرم در ۱۰۰ گرم از محصول است. نکته حائز اهمیت افزایش تلفات ساقه‌کوبی بعد از ساقه‌کوبی با شدت ۸ ضربه است، به طوری که بعد از این شدت تلفات با نرخ بیشتری افزایش می‌یابد.

در شکل ۱۶ تلفات شدت‌های مختلف ساقه‌کوبی ارائه شده است. به منظور ارائه گزارش در مقیاس درصد، با وجود ۵۰ گرمی بودن هر دسته، مقادیر در عدد ۲ ضرب شدند تا گزارش به صورت تلفات در ۱۰۰ گرم از آن دسته گزارش شود. در کل، دسته شاهد دارای کمترین



شکل ۱۶- تلفات شدت‌های مختلف ساقه‌کوبی

Fig. 16. Losses of various intensities of conditioning

نرخ از دست دادن رطوبت، نیروی مورد نیاز برای جدایش برگ از ساقه در سرعت پروب ۱۰ میلی‌متر بر دقیقه و در رطوبت‌های مختلف و همچنین شبیه‌سازی نرخ از دست‌دادن رطوبت با استفاده از دینامیک سیالات محاسباتی مورد بررسی قرار گرفتند. موارد بیان شده استخراج گردید و مورد بحث قرار گرفت.

با در نظر گرفتن کیفیت محصول نهایی و تلفات آن‌ها و ارزیابی‌های انجام گرفته بین ۴ تیمار مختلف (شاهد، ۳ ضربه، ۸ ضربه و ۱۳ ضربه)، تیمار ۸ ضربه، ساقه‌کوبی متوسط به‌عنوان بهترین حالت انتخاب شد. همچنین در هر دو آزمایش فاکتوریل اثرات شدت ساقه‌کوبی و زمان به ترتیب بر روی نسبت رطوبت و همچنین بیشینه نیروی جدا کردن برگ از یونجه به‌صورت معنی‌دار در سطح آماری

لازم به ذکر است که با توجه به ارزیابی‌های انجام گرفته از نظر زمان خشک شدن تا رسیدن به رطوبت بهینه و همچنین مقدار تلفات بر حسب گرم محصول خشک شده، از بین ۴ تیمار مختلف، با در نظر گرفتن کیفیت محصول نهایی و تلفات آن‌ها، تیمار با ۸ ضربه به‌عنوان بهترین حالت انتخاب شد.

نتیجه‌گیری

در محصولات علفه‌ای مانند یونجه، رسیدن محصول به رطوبت مطلوب در زمان بسته‌بندی از اهمیت بالایی برخوردار است. در این پژوهش، گروه شاهد و ۳ گروه ساقه‌کوبی شده از گیاه یونجه از نظر

یک درصد به دست آمد.

خواهد شد.

به صورت جمع‌بندی، دسته شاهد دارای کمترین میزان تلفات با مقدار ۱/۲۵۶ گرم در ۱۰۰ گرم و دسته ۱۳ ضربه دارای بیشترین تلفات با مقدار ۷/۵۶ گرم در ۱۰۰ گرم از محصول است. تلفات ساقه‌کوبی بعد از ساقه‌کوبی با شدت ۸ ضربه افزایش یافته است، به طوری که بعد از این شدت تلفات با نرخ بیشتری افزایش می‌یابد، از این رو شدت ساقه‌کوبی با تعداد بالاتر از ۸ ضربه سبب افزایش در میزان تلفات

بنابر نتایج، مدل محیط متخلخل و بخش انتقال جرم مربوط به گونه‌ها در نرم‌افزار انسیس فلوئنت از قابلیت بالایی برای شبیه‌سازی جریان‌های مربوط به خشک‌کردن محصولات کشاورزی برخوردار است. همچنین در نزدیکی محل‌های اعمال ضربه گرادیان انتقال رطوبت مشاهده شده از شبیه‌سازی‌های تجربی به خوبی تأثیر اعمال ضربه‌ها بر فرآیندهای انتقال داخل گیاه را نشان داد.

References

- Aboltins, A., and P. Kic. 2018. Influence of air velocity on drying dynamics of alfalfa. 17th International Scientific Conference Engineering for Rural Development 1: 1470-1475.
- Anderson, J. D. 2009. Basic Philosophy of CFD in Computational Fluid Dynamics. Springer Berlin Heidelberg, Berlin, Heidelberg.
- Bartzanas, T., D. D. Bochtis, C. G. Sorensen, A. A. Sapounas, and O. Green. 2010. A numerical modeling approach for biomass field drying. Biosystems Engineering 106: 458-469. <https://doi.org/10.1016/j.biosystemseng.2010.05.010>
- Che, G., H. J. Wen, L. Wan, Y. R. Qing, and X. Wang. 2015. Kinematic Simulation and Experimental Study on Rotating Air Flow for Drying Alfalfa. Drying Technology 33: 1720-1727. <https://doi.org/10.1080/07373937.2015.1026980>
- Datta, A. K. 2007a. Porous media approaches to studying simultaneous heat and mass transfer in food processes. I: Problem formulations. Journal of Food Engineering 80: 80-95. <https://doi.org/10.1016/j.jfoodeng.2006.05.013>
- Datta, A. K. 2007b. Porous media approaches to studying simultaneous heat and mass transfer in food processes. II: Property data and representative results. Journal of Food Engineering 80: 96-110. <https://doi.org/10.1016/j.jfoodeng.2006.05.012>
- Engels, F. M., and H. G. Jung. 1998. Alfalfa stem tissues: Cell-wall development and lignification. Annals of Botany 82: 561-568. <https://doi.org/10.1006/anbo.1998.0705>
- Erriguible, A., P. Bernada, F. Couture, and M. Roques. 2006. Simulation of convective drying of a porous medium with boundary conditions provided by CFD. Chemical Engineering Research and Design 84: 113-23. <https://doi.org/10.1205/cherd.05047>
- Farhang, A., A. Hosinpour, H. Darvishi, M. H. Khoshtaghaza, and T. Tavakolli Hashtjin. 2010. Accelerated drying of alfalfa (*Medicago sativa* L.) by microwave dryer. Global Veterinaria 5: 158-163.
- Fasina, O., and S. Sokhansanj. 1995. Modelling the bulk cooling of alfalfa pellets. Drying Technology 13: 1881-1904. <https://doi.org/10.1080/07373939508917055>
- Giuberti, G., G. Rocchetti, S. Sigolo, P. Fortunati, L. Lucini, and A. Gallo. 2018. Exploitation of alfalfa seed (*Medicago sativa* L.) flour into gluten-free rice cookies: Nutritional, antioxidant and quality characteristics. Food Chemistry 239: 679-687. <https://doi.org/10.1016/j.foodchem.2017.07.004>
- Hassanpour, A., A. Modarres Motlagh, M. Esmaili, and A. Rahmani Didar. 2011. Changes in the mechanical properties of white seedless grapes during different maturity stages. Journal of Food Research 21 (3): 343-355. (In Persian).
- Hopkins, D. L., E. S. Toohey, M. J. Kerr, and R. Van de Ven. 2011. Comparison of two instruments (G2 Tenderometer and a Lloyd Texture analyser for measuring the shear force of cooked meat. Animal Production Science 511: 71-76. <https://doi.org/10.1071/AN10136>
- Ivanov, Y. A., V. Pakhomov, S. Braginets, O. N. Bakhchevnikov, and A. Rukhlyada. 2018. Experimental study on microwave-vacuum drying of alfalfa. Journal of Engineering and Applied Sciences 13 (19): 8019-8024.
- Jamaledine, T., and M. Ray. 2010. Application of computational fluid dynamics for simulation of drying processes: A review. Drying Technology 28: 120-54. <https://doi.org/10.1080/07373930903517458>
- Kung, L., L. D. Satter, B. A. Jones, K. W. Genin, A. L. Sudoma, G. L. Enders, and H. S. Kim. 1987. Microbial Inoculation of Low Moisture Alfalfa Silage. Journal of Dairy Science 70: 2069-2077. [https://doi.org/10.3168/jds.S0022-0302\(87\)80255-2](https://doi.org/10.3168/jds.S0022-0302(87)80255-2)
- Naimi, S., G. Shahgholi, A. Rezvani Fanaie, and V. Rostampour. 2019. Numerical Study of Wheat Conveying in Separator Cyclone Using Computational Fluid Dynamics. Journal of Agricultural Machinery 11 (2): 231-246. (In Persian). <http://dx.doi.org/10.22067/jam.v11i2.79613>
- Nazari G. M., A. Jafari, S. S. Mohtasebi, A. Tabatabaeefer, A. Sharifi, M. J. O'Dogherty, S. Rafiee, and G. Richard. 2008. Effects of moisture content and level in the crop on the engineering properties of alfalfa stems.

- Biosystems Engineering 101: 199-208. <https://doi.org/10.1016/j.biosystemseng.2008.07.006>
19. Nazari G. M., A. Tabatabaeifar, A. Jafari, A. Sharifi, S. Rafiee, and S. S. Mohtasebi. 2009. Influence of moisture content, rate of loading and height regions on tensile strength of alfalfa stems. *International Agrophysics* 23: 27-30.
 20. Patil, R. T., S. Sokhansanj, E. A. Arinze, and G. J. Schoenau. 1993. Methods of expediting drying rates of chopped alfalfa. *Transactions of the American Society of Agricultural Engineers* 36: 1799-1803.
 21. Rezvanivandefanayi, A., and A. M. Nikbakht. 2015. A CFD Study of the Effects of Feed Diameter on the Pressure Drop in Acyclone Separator. *International Journal of Food Engineering* 11: 71-77. <https://doi.org/10.1515/ijfe-2014-0125>
 22. Rezvanivandefanayi, A., A. Hasanpour, and A. M. Nikbakht. 2019. Study of the vapor thermos-compressor to reduce energy consumption in the sugar production line using Computational Fluid Dynamics. *Journal of Agricultural Machinery* 10 (2). (In Persian). DOI: [10.22067/jam.v10i2.76872](https://doi.org/10.22067/jam.v10i2.76872)
 23. Rotz, C. A., and Y. Chen. 1985. Alfalfa drying model for the field environment. *Transactions of the American Society of Agricultural Engineers* 28 (5): 1686-1691. DOI: [10.13031/2013.32500](https://doi.org/10.13031/2013.32500)
 24. Sabralilou, B., A. Mohebbi, E. Akbarian, and A. Rezvanicand fanaei. 2019. Aero-acoustical study of axial fan using computational fluid dynamics. *Journal of Agricultural Machinery* 10 (2): 255-264. (In Persian). DOI: [10.22067/jam.v10i2.74963](https://doi.org/10.22067/jam.v10i2.74963)
 25. Shahbazi, F., and M. Nazari. 2012. Bending and shearing properties of safflower stalk. *Journal of Agricultural Science and Technology* 14: 743-754.
 26. Siles, J. A., P. González-Tello, M. A. Martín, and A. Martín. 2015. Kinetics of alfalfa drying: Simultaneous modelling of moisture content and temperature. *Biosystems Engineering* 129: 185-196. <https://doi.org/10.1016/j.biosystemseng.2014.10.007>
 27. Tavakoli, H., S. S. Mohtasebi, and A. Jafari. 2009. Effects of moisture content, internode position and loading rate on the bending characteristics of barley straw. *Research in Agricultural Engineering*. 55: 45-51. <https://doi.org/10.17221/26/2008-RAE>
 28. Wiersma, D. W., P. R. Carter, K. A. Albrecht, and J. G. Coors. 1993. Kernel milkline stage and corn forage yield, quality, and dry matter content. *Journal of Production Agriculture* 9: 92-99. <https://doi.org/10.2134/jpa1993.0094>
 29. Wu, H. 2004. Alfalfa drying properties and technologies– in Review *Nature Science* 2: 65-67.
 30. Zhao, A., X. XiaoFang, W. YongKang, R. HaiYan, G. G. DengKe, J. JinHua, and S. C. Li. 2018. Measuring texture quality of fresh jujube fruit using texture analyser. *Journal of Fruit Science* 35: 631-641.
 31. Zobeiri, M., V. Rostampour, A. Rezvanivande Fanaei, and A. M. Nikbakht. 2019. Experimental and Numerical investigation of deviation blade effect on sedimentation chamber performance in chickpea harvesting machine. *Iran Biosystems Engineering* 52. (In Persian). DOI: [10.22059/ijbse.2020.276317.665166](https://doi.org/10.22059/ijbse.2020.276317.665166)